

Molijerov h-x dijagram

Mr Drago Goli, dipl. inž.,
IMP, Avtomatika, 61000 Ljubljana,
Jožeta Jame 16

Cilj ovog članka nije upoznavanje stručnjaka iz oblasti klimatizacije sa fizikalnim tumačenjima Molijerovog h-x dijagrama za homogenu smešu suvog vazduha i vodene pare, već sa polaznim tačkama potrebnim za razvoj savremenog računarskog slovno-brojčanog programa, koji bi bio sastavni deo grafičkog eksperthnog računarskog sistema.

Uvod

Na tržištu ima mnogo računarskih programa za Molijerov h-x dijagram, ali je malo onih koji bi omogućili:

- višesmerno uporedno izračunavanje jednačina,
- sprečavanje nemogućih i nelogičnih podataka već u fazi unošenja podataka,
- diagnosticiranje grešaka pri unošenju i u toku izvođenja numeričkog izračunavanja jednačina,
- nadgradnju i udruživanje sa grafičkim računarskim programima.

Određivanje stanja vlažnog vazduha

Stanje vlažnog vazduha može se odrediti sa najmanje dve nezavisne veličine, koje na datom atmosferskom pritisku biramo za opštu inženjersku praksu među veličinama t , t_m , t_r , h , x , φ , p i p_p . Oznake imaju sledeća značenja:

- t — temperatura suvog termometra u $^{\circ}\text{C}$,
 t_m — temperatura vlažnog termometra u $^{\circ}\text{C}$,
 t_r — temperatura rošenja vazduha u $^{\circ}\text{C}$,
 h — specifična entalpija vazduha u kJ/kg ,
 x — apsolutna vlažnost vazduha u g/kg ,
 φ — relativna vlažnost vazduha u % r. v.,
 p — gustina vazduha u kg/m^3
 p_p — parcijalni pritisak vodene pare u kPa .

Veličine su prikazane i na slici 1. Nazivamo ih bazom podataka. Ova baza u našem slučaju omogućava odabiranje dveju proizvoljnih veličina kao ulaznih podataka, gde su svi ostali podaci izlazni. Možemo da odaberemo 28 ovakvih dvojnika, što odgovara broju kombinacija od

osam elemenata po dva zajedno, a stvarno ih ima samo 25, pošto su veličine t_r , x i p_p međusobno zavisne.

Za ovakav način unošenja ulaznih podataka mora postojati računarski program visoko modulacijskog stepena, što znaoči 25 potprograma, odnosno 25 različitih istovremeno numeričkih proračuna matematičkog modela, čiji su nazivi prikazani u tabeli 1.

Postoji nekoliko ovakvih veličina vlažnog vazduha, koje nisu pogodne za uključivanje u bazu podataka, pošto bi samo povećale broj kombinacijskih mogućnosti pri unošenju podataka. Kao samo ulazni podatak je ovakva veličina: p_{atm} — atmosferski pritisak u kPa .

Kao isključivo izlazni podaci su veličine:

- p — parcijalni pritisak vazduha u kPa ,
 h_p — entalpija vodene pare u kJ/kg ,
 h_v — entalpija vode ili leda u kJ/kg i
 p'_p — parcijalni pritisak vodene pare zasićenog vazduha u kPa .

Matematički model

Povezivanje pojedinih veličina vlažnog vazduha zasniva se na tri osnovna načela:

- zakonu o idealnom gasu,
- Daltonovom zakonu o smeši idealnih gasova i Prvom zakonu termodinamike.

Tabela 1.

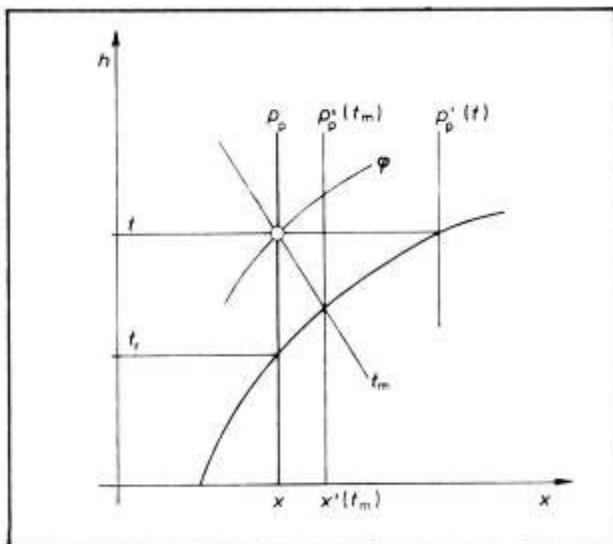
t_m	t	h	x	φ	p	p_p
t_m	$t - t_m$	$t - t_r$	$t - h$	$t - x$	$t - \varphi$	$t - p$
t_r				$t_m - x$	$t_m - \varphi$	$t_m - p$
t					$t - \varphi$	$t - p$
h				$h - x$	$h - \varphi$	$h - p$
x					$x - \varphi$	$x - p$
φ						$\varphi - p$
p						$p - P_p$

Na osnovu ovih načela izradićemo matematički model samo do onog stepena tačnosti, koji je potreban u inženjerskoj praksi u klimatizaciji. Znamo, naime, da absolutni parcijalni pritisak vodene pare pri pretvaranju vlažnog vazduha retko prelazi 4 kPa . Takođe i gustina zasićene vodene pare već pri 50°C samo sa 0,5% odstupanja prati zakon idealnog gasa, a pri 20°C greška iznosi 0,07%. Slična je takođe entalpija. Tu je odstupanje pri 50°C samo 0,06%, a pri 20°C greška tj. odstupanje se gubi. Specifična toploplota se u vrlo širokom rasponu, između 70°C i 125°C , skoro i ne menja.

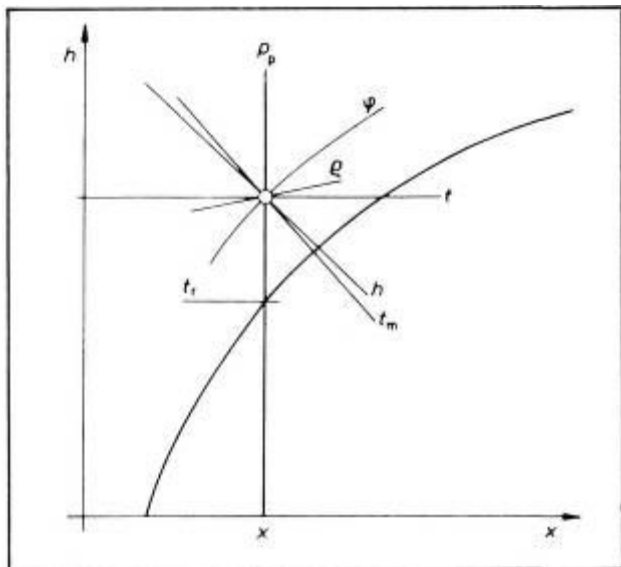
U produžetku sledi takav matematički model, da je svaka jednačina po potrebi modela izvedena sa više promenljivih, koje sadrži. Svakako redosled jednačina sa određenim ulaznim podaci-

Tabela 2.

Ulazni podatak	Jedinice	Dozvoljeno od	Područje do	Dozvoljeno 0	Dozvoljeno <0
t	°C	-39	150	da	da
p _{atm}	kPa	7	345	ne	ne
φ	% r. v.	0	100	da	ne
X	kg/kg	~ 0	0,2	da	ne
t _m	°C	-39	150	da	da
h	kJ/kg	-38,8	706	da	da
ρ	kg/m ³	0,08	5,14	ne	ne
P _p	kPa	1,7	P _{atm}	ne	ne
t _r	°C	-39	150	da	da
P' _p	kPa	0,00187	256,73	ne	ne



Sl. 2.

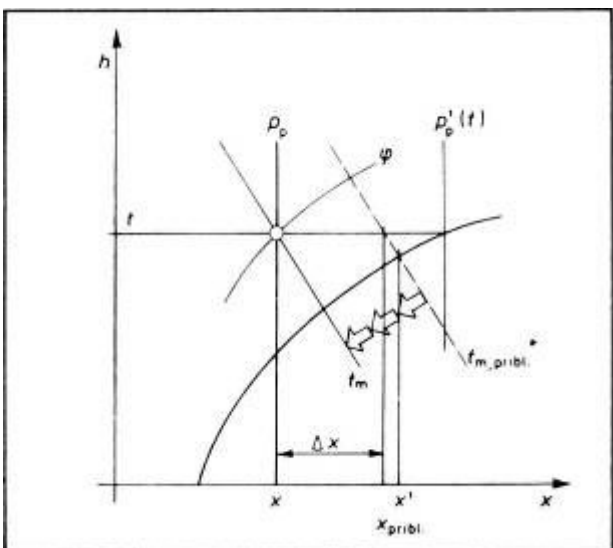


Sl. 1.

ma, nije uvek analitički moguće rešiti. Ipak, za numeričke proračune nećemo dati rešenja, pošto su ona poznata. Osnovne osobine, koje se u suštini ne menjaju su unete sa numeričkom vrednošću.

Tabela 3.

Ulazni podatak	Tedtnica	Logična verifikacija (dozvoljeno)	Jednačina Konistatacija
t _m	°C	t _m ≤ t	t _m > t
t _r	°C	t _r ≤ t	t _r > t
t	°C	t(p _p , ρ) < 150°C	8.3. t > 150°C
h	kJ/kg	h < h(t, x'(t))	7.1. h > h'
h	kJ/kg	h < h(x, t = 150°C)	7.1. h > h''
h	kJ/kg	h < h(x(p _p), t = 150°C)	2.1. h > h''
ρ	kg/m ³	ρ > ρ(t, P' _p (t))	8.1. ρ < ρ'
X	kg/kg	x < x'(t)	1.1.+2.1. x > x'
P _p	kPa	PP < P' _p (t)	1.1. P _p > P' _p
φ	% r. v.	φ > φ(x, t = 150°C)	φ <
φ	% r. v.	φ > φ(x(p _p), t = 150°C)	φ <



Sl. 3.

1.1. Parcijalni pritisak vodene pare zasićenog vazduha

$$t < 0 \quad p'_p = 3,61633E9 \exp(-6150,6/(t + 273,33))$$

$$t \geq 0 \quad p'_p = 1,40974E7 \exp(-3928,5/(t + 231,667))$$

1.2. Temperatura rošenja vazduha

$$P'_p < P'_p(t=0) : t_1 = \frac{6150,6}{\ln \frac{3,61633E9}{3,928,5}}$$

$$P'_p = P'_p(t=0) : t_1 = \frac{231,667}{\ln \frac{1,40974E7}{3,928,5}}$$

Tabela 4.

Izračunava nje veličina	Nije dozvoljen o	Konstalac ija	Oznaka jednačine
$p'_p(t) =$			1.1.
$p'_p(t_m) =$			1.1.
$X'(p_{atm}, p'_p(t_m)) =$	$= 0$	$X = 0$ ili $p'_p = p_{atm}$	2.1.
	< 0	t_m suviše visok	
$h_p(t) =$			3.1.
$h_p(t_m) =$			3.1.
$h_v(t_m) =$			4.1.
$X(x(t_m), t_m, t, h_p, h_v) =$	< 0	t_m suviše nizak	5.1.
	> 200	x prevelik	
$p_p(x, p_{atm}) =$			2.2.
$\varphi(P_p, P'_p(t)) =$	> 100	$t_m > t$	6.1.
	$x = 0$	t_r neodređeno	
$p'_p(t_{,,} = 0) =$			1.1b
$t_r(p_p) =$			1.2a ill 1.2b
$x = x(1000)$			
$h(t, x) =$			7.1.
$\rho(p_{atm}, p_p, t) =$			8.1.

2.1. Apsolutna vlažnost vazduha

$$x = 0,622 \frac{p_p}{P_{atm} - P_v}$$

2.2. Parcijalni pritisak vodene pare

$$x = \frac{p_p - P_{atm}}{P_{atm} - P_v}$$

3.1. Entalpija vodene pare

$$h_p = 2501 + 1,863 t$$

4.1. Entalpija vode

$$t < 0 \quad h_v = -334 + 1,955 t$$

$$t \geq 0 \quad h_v = 4,1868 t$$

5.1. Apsolutna vlažnost vazduha

$$x' (t_m [h_p(t_m) - h_v(t_m)] + 1,0048 (t_m - t))$$

$$x = \frac{x' (t_m [h_p(t_m) - h_v(t_m)] + 1,0048 (t_m - t))}{h_p(t) - h_v(t_m)}$$

6.1. Relativna vlažnost vazduha

$$\varphi = 100 p_p(t) / p'_p(t)$$

6.2. Parcijalni pritisak vodene pare

$$p_p(t) = p'_p(t) \varphi / 100$$

6.3. Parcijalni pritisak vodene pare zasićenog vazduha

$$p'_p(t) = p_p(t) 100 / \varphi$$

7.1. Entalpija vazduha

$$h = 1,0048 t + x (2501 + 1,863 t)$$

7.2. Apsolutna vlažnost vazduha

$$x = (h - 1,0048 t) / (2501 + 1,863 t)$$

7.3. Temperatura vazduha po suvom termometru

$$t = (h - 2501 x) / (1,0048 + 1,863 x)$$

8.1. Gustina vazduha

$$\rho = 1000 (p_{atm} - p_p) / [286,7 (t + 273,15) - 1,32 \cdot p_p / (t + 273,15)]$$

8.2. Parcijalni pritisak vodene pare

$$p_p = [(1000 p_{atm} - \rho 286,7 (t + 273,15)) / 1378,4444]$$

8.3. Temperatura vazduha po suvom termometru

$$t = [(3,48797 p_{atm} - 4,80797 p_p) / \rho] - 273,15$$

Određivanje grešaka

Kao što smo već napomenuli, mora savremeni program računara biti pre svega u stanju da prenosi poruke i mora korisniku pružati mogućnosti provere ulaznih i izlaznih podataka, čak i među rezultate u toku samog modeliranja. Tako je u tabeli 2. prikazana provera ulaznih veličina, imajući u vidu dozvoljene granice, a u tabeli 3. se vidi deo logične provere s obzirom na međusobne zavisnosti ulaznih veličina. Provera u toku modeliranja je prikazana na primeru.

Potrebno je upozoriti i na to da faktor SHF nije upotrebljiv za ručna grafička rešenja u Mollierovom h-x dijagramu, pošto je precizan sarno u psihrometrijskom dijagramu, koji se primenjuje u Americi. Za regulaciju uređaja za klimatizaciju oblast podataka nećemo oblikovati, jer je suviše obimna.

Primeri

Interesuje nas, kako na osnovu datih izraza izraditi pomenutih 25 potprograma. Pošto su načini više ili manje slični, pogledaćemo redosled izvođenja jednačina samo za dva potprograma. S obzirom na tabelu 1, veoma su pogodne relacije $t = t_m$ i $t = p_p$.

Na slici 2. je za potprogram $t = t_m$ prikazano nekoliko važnih veličina u Mollierovom h-x dijagramu, a u tabeli 4. redosled izvođenja jednačina datog matematičkog modela, konstatacija i označke jednačina. Jednačine su analitički rešive.

Na slici 3. je za potprogram $t = p_p$ isto tako prikazano nekoliko važnih veličina u Molliero-

SI. 4.

01•LBL "PSIH"	56 XEQ 03	111 XEQ 05	166 +	221 -3928.5	276 XEQ "D"	331 FC? 55
02 SF 03	57 "TWS?"	112 RCL 08	167 RTN	222 X>Y	277 RCL 07	332 STO 05
03 TCF 03: I TWS?	58 X<0?	113•LBL 00	168•LBL 05	223 /	278 1 E3	333 FD? 21
04 PROMPT	59 PROMPT	114 XEQ 03	169 STO 06	224 E^X	279 *	334 STO 05
05•LBL D	60 XEQ 04	115 "PP>P"	170 RCL 06	225 1.40974 E7	280 FIX 2	335 XEQ "PRA"
06 0	61 "TWS?"	116 X<0?	171 /	226 *	281 "X,G/KG=?"	336 RTN
07 STO 06 04	62 X>0?	117 PROMPT	172 1	227 RTN	282 ARCL X	337•LBL 05
08 ADV	63 PROMPT	118 STO 07	173 X>Y	228•LBL 00	283 XEQ "D"	338 PROMPT
09 101.325	64 STO 07	119 .2	174 X>Y?	229 RDN	284 FIX 1	339 .END.
10 STO 01	65 .2	120 "T>200"	175 PROMPT	230 273.33	285 "RY,X=?"	
11 FIX 3	66 "T>200"	121 X>Y?	176 1 E3	231 +	286 ARCL 04	
12 "T>1Pa"	67 X=Y?	122 PROMPT	177 *	232 -6150.6	287 XEQ "D"	
13 XEQ "IN"	68 PROMPT	123 FS? 03	178 STO 04	233 X>Y	288 RCL 02	
14 "F=?"	69 RDN	124 STO 18	179 RTN	234 /	289 1.0048	
15 ARCL 01	70 RCL 01	125 80	180•LBL 08	235 E^X	290 *	
16 FS? 55	71 *	126 STO 09	181 FIX 1	236 3.61633 E9	291 0	
17 XEQ "D"	72 RCL 07	127 CF 02	182 "TWS,ST=?"	237 *	292 RCL 02	
18•LBL B	73 .612	128•LBL 01	183 ARCL 03	238 RTN	293 XEQ 06	
19 BEEP	74 +	129 RCL 07	184 XEQ "D"	239•LBL 03	294 FIX 2	
20 1	75 /	130 FS? 02	185•LBL 18	240 "XMAS OR PP=P"	295 RCL 07	
21 STO 00	76 "TWS)Tds"	131 CHS	186 RCL 08	241 .622	296 *	
22 ADV	77 XEQ 05	132 ST+ 03	187 F>0?	242 X>Y	297 +	
23 FIX 3	78 STO 18	133 2	188 STO 09	243 *	298 "H,KJ/KG=?"	
24 "TDs,ST"	79•LBL E	134 ST/ 09	189 0	244 RCL 01	299 ARCL X	
25 XEQ "IN"	80 3	135 RCL 03	190 XEQ F	245 LASTX	300 XEQ "D"	
26 "F=?"	81 STO 00	136 XEQ F	191 X>Y?	246 -	301 RCL 02	
27 ARCL 02	82 FIX 1	137 XEQ 03	192 STO 00	247 X=0?	302 273.15	
28 FS? 55	83 "PV,X"	138 X<0?	193 RCL 08	248 PROMPT	303 +	
29 XEQ "D"	84 XEQ "IN"	139 STO 01	194 1.40974 E7	249 /	304 286.7	
30 XEQ F	85 "F=?"	140 XEQ 04	195 /	250 RTN	305 *	
31 SF 27	86 ARCL X	141 RCL 07	196 LN	251•LBL 04	306 RCL 01	
32 STO 08	87 ADV	142 -	197 1/X	252 RCL 03	307 RCL 08	
33 FIX 3	88 FS? 55	143 X<0?	198 -3928.5	253 RCL 03	308 -	
34 "P"	89 XEQ "D"	144 SF 02	199 *	254 XEQ 06	309 /	
35 39	90 RCL 02	145 ABS	200 231.667	255 *	310 1/X	
36 XTOA	91 STO 03	146 1 E-5	201 -	256 RCL 03	311 1 E3	
37 "F,KPa=?"	92 XEQ F	147 X<Y?	202 STO 11	257 RCL 02	312 *	
38 ARCL 06	93 X>Y	148 STO 01	203•LBL 00	258 -	313 "RD,KG/M3=?"	
39 XEQ "D"	94 .2	149 STO 08	204 RCL 08	259 1.0048	314 ARCL X	
40•LBL 22	95 STO 08	150•LBL 06	205 5.24506 E8	260 *	315 XEQ "D"	
41 "Wb T % P PP"	96 STO 00	151 1.8631	206 /	261 +	316 STO 3	
42 PROMPT	97•LBL E	152 *	207 LN	262 RCL 03	317•LBL "IN"	
43 STO 22	98 RCL 02	153 2501	208 1/X	263 RCL 02	318 1	
44•LBL A	99 STO 03	154 +	209 -6150.6	264 XEQ 06	319 ST+ 00	
45 2	100 FIX 3	155 X>Y	210 *	265 /	320 RCL IND 00	
46 STO 00	101 7	156 X<0?	211 273.33	266 RTN	321 "F=?"	
47 FIX 1	102 STO 00	157 XEQ 07	212 -	267•LBL 11	322 ARCL IND 00	
48 "Tws,ST"	103 "PP,KPa"	158 4.1868	213 STO 11	268 FIX 1	323 "F=?"	
49 XEQ "IN"	104 XEQ "IN"	159 *	214•LBL F	269 "TdP,ST=?"	324 CF 21	
50 "F=?"	105 "F=?"	160 -	215 0	270 ARCL X	325 AVIEW	
51 ARCL X	106 ARCL X	161 RTN	216 X>Y?	271 XEQ "D"	326 SF 21	
52 ADV	107 ADV	162•LBL 07	217 STO 00	272•LBL 09	327 STOP	
53 FS? 55	108 FS? 55	163 .467	218 RDN	273 FIX 3	328 STO IND 00	
54 XEQ "D"	109 XEQ "D"	164 *	219 231.667	274 "PP,KPa=?"	329 RTN	
55 XEQ F	110 "PP>PP/Tds"	165 -79.97556	220 +	275 ARCL 08	330•LBL "D"	

vom h-x dijagramu. Za ovaj potprogram nećemo prikazivati redosled izvođenja jednačina, ali je potrebno napomenuti da jednačine nisu analiti-

čki već numerički rešive (izračunavanje samo približno).

Listing program za džepni računar HP41CV je prikazan na slici 4.

Zaključak

Stručnjak za klimatizaciju i automatizaciju će biti iznenađen mogućnostima ovako zasnovanog programa za proračun veličina stanja vlažnog vazduha, pošto će moći na datom atmosferskom pritisku odnosno pri datoj nadmorskoj visini izvoditi analize, koje inače ne bi bile moguće.

Osnivači eksperimentnih računarskih programske sistema će moći program dopuniti do stepena kada će putem promene vlažnog vazduha moći za datu klimatizacionu zonu i date temperature i tolerancije vlažnosti u klimatizovanom prostoru automatizovati izbor klimatizacionog sklopa i uređaja za klimatizaciju. Tu će naići na novu oblast podataka i to:

Novi deljivi digitalni automatizacijski sistem „IMP-Cadring“

Tehnologija ovog novog sistema omogućava takvu automatizovanu arhitekturu, pri kojoj je inteligencija podeljena na delove klimatizacionih uređaja ili postrojenja.

U arhitekturi ovakvog sistema na najnižem mestu se nalazi logička tačka; to je merno, ili izvodljivo mesto. Za svaku logičku tačku se povezuje sklop atributa i parametara, koji su opredeljeni na višem mestu arhitekture u podstanicama DDC IMP—Cadring. Ovih sistema može biti više. Oni pre svega mogu raditi potpuno samostalno, a povezani su nadređenim ravnima kao i međusobno. Na višem mestu arhitekture nalaze se nadzorni lični računar IMP—Cadring. Komunikaciona mreža IMP—Cadring omogućuje ravноправно povezivanje.

Podstанице IMP—Cadring DDC

Podstанице IMP—Cadring DDC su automatizovane jedinice podeljene inteligencije i velike prilagodljivosti na mašinskoj i programskoj opremi i komunikacijama. S obzirom da imaju unapred određene standardne funkcije, one moraju biti najpre oblikovane, pri čemu razlikujemo:

- konfiguraciju mašinske opreme,
- konfiguraciju programske opreme i
- komunikacijsku konfiguraciju.

U svaku dobu možemo izvesti konfiguraciju i rekonfiguraciju, te stoga govorimo o programiranom sistemu sa priključenim računarom.

Konfiguracija mašinske opreme uključuje pravilna povezivanja odgovarajućih ulaznih i izlaznih kanala. Ulazni kanali mogu biti analogni (merni signali), ili digitalni (za prikaz stanja ili upravljanja spojeva), zbog čega su poznati pod nazivom »univerzalni ulazi«. Izlazni kanali mogu biti analogni (0 do 10, ili 4 do 20 mA), za određivanje pozicija ventila ili žaluzina, za postavljanje željenih vrednosti drugim regulatorima za upravljanje regulatora broja obrta, ili za oblikovanje takozvanih eksternih sekvenči. Digitalni izlazni kanali su namenjeni različitim uključenjima, ili trotačkastom upravljanju elektromotornih pogona. Neke podstанице DDC imaju samo analogne izlazne kanale, što znači da je moguće postići digitalne izlazne kanale sa eksternim sekvenčama.

Konfiguracija programske opreme određuje kako da se automatizacione i nadzorne funkcije, potrebne za pojedine primene, izvode. U suštini se radi o kolekciji programiranih standardnih funkcija, od kojih svaka ima svoju specijalnu automatizacijsku ulogu i koje je naizgled moguće povezati u beskonačan broj kombinacija, da bi se dostigla automatizacijska strategija.

Komunikacijska konfiguracija definiše načine na koje mogu podstанице DDC sarađivati sa rukovocima i drugim uređajima. Tu su poznata dva načina: komunikacija se aktivira na nekom drugom mestu, ili se ona aktivira sa podstanicama DDC.

IMP—Cadring komunikacione mreže

IMP—Cadring komunikaciona mreža je razvijena tako, da omogućuje slobodno međusobno povezivanje podstанице IMP—Cadring DDC kontrolnim ličnim računarima, modemima, štampačima i drugim uređajima. Sa osnivanjem kožne mreže i statističkim načinom mreža, IMP—Cadring poseduje suštinske prednosti u odnosu na mreže sa osrednjim sistemom, npr. glavne i podređene sisteme.

Svaki uređaj je priključen na svoje sopstveno čvoriste na mreži, a čvorista u kružni tok. Svako čvoriste ima svoj naslov, tako da na taj način svako od njih može da pošalje poruku bilo kom drugom čvoristu. Naslov je potrebno postaviti ručno sa 8 ručnih prekidača.

Čvoriste na mreži je čvoristi računar. To je mali mikroprocesor u ulozi poštara. Već je ugrađen u podstanicu DDC, koja ne proverava samo ciljne naslove, već proverava i poruke s obzirom na greške te izdvaja loše. Osim ove poruke, on čuva i pamti poruku, dok ona ne bude spremna da je prihvati. Tip čvorista je prilagođen uređaju, koji je na njega priključen. IMP— Cadring komunikaciona mreža može imati najviše 111

- grejnu topotu,
- rashladnu topotu,
- topotu za sušenje pri hlađenju,
- topotu pri hemijskom sušenju,
- eksploraciju adijabatskog vodenog vlaženja,
- eksploraciju neadijabatskog vodenog vlaženja,
- entalpijsku razliku parnog vlaženja,
- koeficijent smera $\Delta h/\Delta x$,
- faktor SHF.

Literatura

[1] GOLI, D.: *Avtomatizacija klimatizacijskih na-prav*, Fakulteta za strojništvo, Ljubljana, 1986.

Novi deljivi digitalni automatizacijski sistem „IMP-Cadring“

povezanih mreža, a svaka mreža po 111 čvorova, koji mogu biti:

- čvoriste CNC (Communication Node Controller) za kontrolne lične računare, podstанице DDC i za štampače;
- čvoriste PNC (Personal Computer Node Controller) za kontrolne lične računare, koji su zaštićeni od ulaza u programsku opremu;
- čvoriste ANC (Autodial Node Controller) za samoizborni telefonski modem za povezivanje između udaljenih čvorista ili sa nekom drugom mrežom;
- čvoriste INC (Internetwork Node Controller) za priključivanje na druge susedne kružne mreže, koje rade pri različitoj brzini prenosa podataka.

Poruka, koju neko čvoriste šalje, ima kod poruke (97 znakova) dodat jos naslov odašiljačkog čvorista i naslov ciljnog čvorista, oznaku za početak i kraj poruke. Svako čvoriste u kružnoj mreži posle toga poruku prima i upoređuje svoj maslov sa ciljnim naslovom poruke. Ako se naslov uklapaju, odgovarajuće čvoriste poruku skida sa mreže, šalje svome uređaju i odmah šalje kraću potvrdu o prijemu poruke predajnom čvoristu.

Mreža IMP—Cadring ima dva različita načina komunikacija, oba serijska, a to su:

- komunikacija između čvorista i uređaja (RS232C) i
- komunikacija među čvoristima (Token passing).

Serijska mreža za komunikaciju između čvorista i uređaja troši male snage pri naponu od najviše +25 V. Što znači sigurnost uređaja pred unistenjem te isto tako uglavnom male udaljenosti komuniciranja do najviše 15 m.

Serijska mreža za komunikacije između čvorista primenjuje zbog većih traženih razdaljina strujni signal 20 mA, koji omogućava prenos do najviše 1 km predajnog sledećeg čvorista, odnosno do najviše 2 km predajnog čvorista, ukoliko jedno čvoriste koje se nalazi između ispadne. Ispadanje čvorista, da ne bi ispalta mreža, omogućuje četvoroputni relej za premošćavanje.

IMP—Cadring kontrolni lični računari

IMP—Cadring kontrolni lični računari doslovno rečeno nisu više elementi za upravljanje procesom, već je njihov zadatak pre svega sinteza, prikupljanje informacija, praćenje alarma za održavanje i menjanje željenih parametara procesa sa neposredno priključenim računarom na podstanicama IMP—Cadring DDC. Kontrolni lični računar je moguće primeniti na mestu procesa, ili ga uključivati putem telefona. Programska oprema nadzora je opremljena tehnikom izbora i prozorima, te je veoma jednostavna za primenu. Omogućuje grafiku u boji te takozvane žive odnosno dinamične slike, koje vrednosti mernih veličina, željene vrednosti itd. u realnom vremenu ispisuju već na tehnološkim slikama procesa sa ekrana tačno na mestima gde su ucrtana i nije ih potrebno ispisivati u preglednicama. Omogućuje simuliranje regulacijskih petlji za brže i optimalnije određivanje regulacijskih parametara (X_0, t_i, t_a). Pomoću prozora je moguće na ekrantu istovremeno obradivati ili posmatrati vise primene. Integrисана banka podataka i obrada tekstova omogućuju ukupan udružen sistem nadzora potrošnje energije. Pomoću posebnih programa je moguće nacrtati automatizacijske strategije podstанице IMP—Cadring DDC. Zbog izvođenja više radova moguća je istovremena obrada pomoću programske opreme i nadzora i sa programima za obradu tekstova, baze podataka i drugih programa.

Programska oprema IMP—Cadring sa oznakom 940 se nalazi na svim ličnim računarima, koji podupiru MS-Windows i MS-DOS i ona je u ovom trenutku najsvremenija u svetu.

Klimatizacija grejanje hlađenje broj 2/1989.